

猪 CCL17 基因的克隆与原核和真核表达

李燕丽, 孙 柏, 张亚杰, 张德礼

(西北农林科技大学 动物医学院, 陕西 杨凌 712100)

[摘要] 【目的】克隆猪胸腺活化调节趋化因子 CCL17 基因, 研究其在原核及真核系统中的表达。【方法】提取仔猪脾脏组织总 RNA, 利用 RT-PCR 技术扩增 CCL17, 并将其与已知序列的 CCL17 进行同源性比较; CCL17 基因经测序验证后, 将其分别克隆入表达载体 pET-32a 和 pEGFP-C1, 构建该基因的重组原核表达载体 pET-CCL17 和真核表达载体 pEGFP-CCL17, 分别进行双酶切和测序鉴定; 前者在大肠杆菌 BL21(DE3) 中诱导表达目的蛋白, 后者以脂质体介导法转染至猪血管内皮细胞(SUVECs), 通过绿色荧光标记和 Western blot 检测细胞中 CCL17 基因的表达水平。【结果】PCR 扩增得到 CCL17 309 bp 的 DNA 片段; 重组表达质粒 pET-CCL17 和 pEGFP-CCL17 经双酶切鉴定和测序分析证明, 载体构建成功。pET-CCL17 经 IPTG 诱导表达后, SDS-PAGE 分析表明, 目的蛋白在宿主大肠杆菌 BL21(DE3) 中高效表达 CCL17 融合蛋白, 分子质量约 32 ku, 与其理论分子质量基本相符; pEGFP-CCL17 转染 SUVECs, 经 Western blot 检测, 证实导入的 CCL17 基因得到了表达。【结论】克隆了猪的 CCL17 基因, 利用大肠杆菌成功表达了 CCL17 重组蛋白, 真核重组质粒在 SUVECs 中也得到了表达。

[关键词] 猪; 胸腺活化调节趋化因子; 分子克隆; 原核表达; 真核表达

[中图分类号] Q785:Q786

[文献标识码] A

[文章编号] 1671-9387(2010)07-0027-06

Cloning and expression of prokaryotic and eukaryotic of swine gene CCL17

LI Yan-li, SUN Bai, ZHANG Ya-jie, ZHANG De-li

(College of Veterinary Medicine, Northwest A&F University, Yangling, Shaanxi 712100, China)

Abstract: 【Objective】The study was done to clone swine thymus activation regulating chemokine CCL17 and express it in prokaryotic and eukaryotic. 【Method】The total RNA was extracted from Spleen of Piglet, the gene of CCL17 was amplified by RT-PCR, the homology was analyzed by expression vector pET-CCL17 and eukaryotic expression vector pEGFP-CCL17, which underwent restriction enzyme digestion and sequencing respectively. The recombinant protein was expressed in BL21 (DE3), eukaryotica expression vector transfected Porcine vascular endothelial cells (SUVECs). 【Result】A DNA fragment at length of 309 bp was amplified by PCR. Both restriction analysis and sequencing proved that recombinant plasmid pET-CCL17 and pEGFP-CCL17 were constructed correctly. pET-CCL17 by the challenge of IPTG, SDS-PAGE analysis showed that the target protein was overexpressed in *E. coli* BL21 (DE3), the fusion protein was about 32 ku, which was consistent with the prediction of CCL17 recombinant protein. pEGFP-CCL17 transfected SUVECs, Western blot detection showed that CCL17 gene was expressed in SUVECs. 【Conclusion】We cloned swine CCL17 and expressed it by *E. coli*. The eukaryotic recombinant plasmid was expressed in SUVECs.

* [收稿日期] 2009-12-24

[基金项目] 国家自然科学基金项目(30270342); 西北农林科技大学引进人才基金资助项目(01140406)

[作者简介] 李燕丽(1984—), 女, 青海西宁人, 硕士, 主要从事分子病原与免疫学研究。E-mail: liyli84@126.com

[通信作者] 张德礼(1962—), 男, 陕西山阳人, 教授, 博士, 博士生导师, 主要从事分子病毒学、免疫学、肿瘤学及生物信息学与系统生物医学研究。E-mail: zhangdeli@tsinghua.org.cn

Key words: swine; thymusand activation-regulated chemokine; molecular cloning; prokaryotic expression; eukaryotic expression

趋化因子是一系列结构相似、由 70~100 个氨基酸组成、具有同源性且能控制免疫细胞定向迁移的小分子细胞因子超家族,与感染、白细胞移行和免疫细胞分化的调节有关^[1]。趋化因子通过结合特异的 7 次跨膜 G 蛋白偶联受体并定位于细胞表面而发挥作用^[2]。根据 N 端保守半胱氨酸的数量及排列方式,趋化因子可分为 CXC、CC、C 和 CX3C 4 个家族^[3]。

胸腺活化调节趋化因子(Thymusand activation-regulated chemokine, CCL17)是新发现的 CC 趋化因子家族成员,主要表达于胸腺,也表达于肺、结肠、小肠等^[3]。CCL17 是 Th2 细胞的一种化学诱导剂,其高亲和力受体为 CCR4,选择性高表达于 Th2 细胞,CCL17 与 CCR4 结合后共同参与 T 细胞和巨噬细胞作用的炎症反应过程^[4]。CCL17 通过诱导活化白介素 4(IL-4)作用于 B 细胞,可增强 IgE 介导的体液免疫和杀伤细胞的杀伤能力,并能促进 B 细胞增殖分化,促进人类 T 细胞增长^[5]。可见,CCL17 基因在免疫细胞的发育和功能中扮演着重要角色。而目前除对人类和小鼠 CCL17 的生物学功能有研究外^[6],在猪上尚未见报道。为此,本试验以猪为供试动物,利用 RT-PCR 技术从其脾脏组织中克隆了 CCL17 基因(包含完整的开放阅读框),构建了猪 CCL17 的原核和真核表达载体,并分别在大肠杆菌及细胞中进行了表达,以期为进一步研究猪 CCL17 的生物学功能奠定基础。

1 材料与方法

1.1 材 料

1.1.1 猪脾脏样品的采集 取出生后 30 d 仔猪的脾脏组织,保存于-80 °C。

1.1.2 菌株和质粒 质粒 pET32a(+),大肠杆菌 DH5α 和 BL21(DE3),由西北农林科技大学动物医学院微生物实验室保存;猪血管内皮细胞(SU-VECs),由西北农林科技大学动物医学院张彦明教授馈赠。载体 pMD-18T simple 为 TaKaRa 宝生物工程(大连)有限公司产品。

1.1.3 试 剂 Trizol Reagent,购自 Invitrogen 公司;AMV 反转录酶、高保真 DNA 聚合酶、T₄ DNA 连接酶、BamH I、Hind III、EcoR I、IPTG、脂质体 2000、DMEM 等,均购自 TaKaRa 宝生物工程(大连)有限公司;E. Z. N. A 质粒小提试剂盒购自

Omega 公司;DNA 胶回收试剂盒,购自北京百泰克生物技术有限公司。

1.2 序列来源

登录 NCBI,在猪的 EST 数据库中得到登录号为 DB794536 的 EST 序列,通过 Blast 发现该序列含有完整的 CCL17 基因的 ORF 区,依据该序列设计引物。

1.3 CCL17 基因的克隆

1.3.1 总 RNA 的提取 取仔猪脾脏组织少许,在液氮中充分研磨,称取大约 100 mg,采用 Trizol 提取总 RNA,提取过程按照试剂盒说明书进行。

1.3.2 引物设计 利用同源序列原理设计 1 对克隆引物,P1: 5'-CCATGACCCCCCTGAAG-3', P2: 5'-CGAACGGTCTAAGGAGAAATC-3'。引物由上海生工公司合成,预期扩增片段大小为 330 bp。

1.3.3 CCL17 基因的 RT-PCR 扩增 以提取的总 RNA 为模板,以 Oligo(dT)18 为引物,按照试剂盒说明书用反转录酶 AMV 进行 RT-PCR 反应。PCR 反应体系为 25 μL:反转录产物 2 μL,10 倍 PCR 缓冲液 2.5 μL,引物 P1、P2 (25 pmol/μL) 各 1 μL,2.5 mmol/L dNTP 2.0 μL,ddH₂O 16.4 μL,Taq plus DNA 聚合酶(5 U/μL)0.1 μL。PCR 反应程序为:95 °C 预变性 5 min;94 °C 变性 1 min,53 °C 退火 1 min,72 °C 延伸 1 min,共 30 个循环;72 °C 延伸 10 min。

1.3.4 PCR 产物的克隆与序列测定 PCR 产物经 10 g/L 琼脂糖凝胶电泳后,将目的条带用凝胶回收试剂盒回收,然后与 pMD19-T 载体于 16 °C 连接过夜。将连接产物转化大肠杆菌 DH5α 感受态细胞,挑取白色菌落接种于含氨苄青霉素(100 μg/mL)的 LB 培养基中,37 °C 振荡培养 12 h。提取质粒,用限制性内切酶 BamH I 和 Hind III 双酶切,采用 PCR 方法鉴定获得的重组质粒,将鉴定正确的质粒命名为 pMD-CCL17。挑选 2 管阳性菌液送北京三博公司测序。

1.4 原核表达载体 pET-CCL17 的构建

1.4.1 引物设计 根据克隆的序列设计 1 对表达引物,P3: 5'-GGGAATTCATGACCCCCCTGAAG-3', P4: 5'-GGAAGCTTATCAGGACTTCTGGGT-GA-3'。引物由 TaKaRa 宝生物工程(大连)有限公司合成, P3 和 P4 中分别引入 EcoR I 和 Hind III 酶切位点(下划线部分)。

1.4.2 PCR 扩增体系 PCR 反应体系为 25 μL:

ddH₂O 9.5 μL, P3、P4(20 pmol/L)各 0.5 μL, 克隆载体 pMD-CCL17 2 μL, rTaq(5 U/L)12.5 μL。PCR 反应程序为:95 ℃ 预变性 5 min;94 ℃ 变性 45 s,61 ℃ 退火 1 min,72 ℃ 延伸 1 min, 共 30 个循环;最后 72 ℃ 延伸 10 min。PCR 产物经 10 g/L 琼脂糖凝胶电泳检测后,按照琼脂糖凝胶 DNA 回收试剂盒说明书纯化回收目的片段。

1.4.3 重组质粒 pET-CCL17 的构建 将回收得到的 CCL17 基因与克隆载体 pMD-18T simple 相连, 构建重组质粒 pMD-CCL17。将 pET-32a 和 pMD-CCL17 质粒进行 EcoR I 和 Hind III 双酶切(37 ℃ 酶切 2 h), 酶切产物按照琼脂糖凝胶 DNA 回收试剂盒说明书进行回收, 用 T₄ DNA 连接酶于 4 ℃ 条件下连接过夜, 连接体系为 10 μL, pET-32a 载体与 PCR 产物的体积比为 3:1。用 10 μL 连接产物转化大肠杆菌 DH5 α 感受态细胞, 在含有 100 μg/mL 氨苄青霉素的 LB 固体培养基中于 37 ℃ 培养过夜。挑取单克隆菌落接种到含有 100 μg/mL 氨苄青霉素的 LB 液体培养基中培养, 提取重组质粒, 并对重组质粒进行 PCR 和双酶切鉴定, 将鉴定正确的质粒转化 *E. coli* BL21(DE3) 感受态细胞, 挑取单克隆菌落接种到含有 100 μg/mL 氨苄青霉素的 LB 液体培养基中培养, 提取重组质粒, 并对重组质粒进行 PCR 和双酶切鉴定, 将 PCR 和双酶切鉴定正确的质粒送北京三博公司测序。将获得的阳性重组质粒命名为 pET-CCL17。

1.5 重组质粒的诱导表达与鉴定

将含重组质粒(pET-CCL17)的 BL21(DE3)转化菌, 接种于含有氨苄青霉素(100 μg/mL)的 LB 液体培养基中, 于 37 ℃ 振荡培养过夜。然后将培养物按 1:100 的体积比接种于新鲜的含有氨苄青霉素(100 μg/mL)的 2×YT 液体培养基中, 37 ℃ 振荡培养至 A₆₀₀ 值达 0.6~0.8 时取出 1 mL, 其余培养液加入 IPTG(终浓度 0.8 mmol/L)于 28 ℃ 诱导培养 6 h, 分别在诱导后 3, 4, 5, 6 h 各收集菌液 1 mL。在相同条件下培养、诱导含表达质粒 pET-28a 的空载体及未加诱导剂的受体菌, 分别作为空白和阴性对照。按常规方法于 10 000 r/min 离心收集菌体, 用 1 mL PBS 重悬菌体, 并加入等体积 2×SDS-PAGE 电泳上样缓冲液, 100 ℃ 变性 10 min, 进行 SDS-PAGE, 考马斯亮蓝染色后观察结果, 分析目的蛋白的表达情况。

1.6 真核表达载体 pEGFP-CCL17 的构建

1.6.1 引物设计

根据克隆的序列设计 1 对表达

引物, P5: 5'-GC GAATTCCATGACCCCCCTGAA-G-3', P6: 5'-CCGGATCCAAATCAGGACTTCT-GGG-3'。引物由 TaKaRa 宝生物工程(大连)有限公司合成, P5 和 P6 中分别引入 EcoR I 和 BamH I 酶切位点(下划线部分)。

1.6.2 PCR 扩增体系 PCR 反应体系为 25 μL: ddH₂O 9.5 μL, P5、P6(20 pmol/L)各 0.5 μL, 克隆载体 pMD-CCL17 2 μL, rTaq(5 U/L)12.5 μL。反应程序为:95 ℃ 预变性 5 min;94 ℃ 变性 45 s, 58 ℃ 退火 1 min, 72 ℃ 延伸 1 min, 共 30 个循环;最后 72 ℃ 延伸 10 min。PCR 产物经 10 g/L 琼脂糖凝胶电泳检测后,按照琼脂糖凝胶 DNA 回收试剂盒说明书进行纯化回收。

1.6.3 重组质粒 pEGFP-CCL17 的构建 将回收得到的 CCL17 基因与克隆载体 pMD-18T simple 相连, 构建重组质粒 pMD-CCL17, 将 pEGFP-C1 和 pMD-CCL17 质粒分别进行 EcoR I 和 BamH I 双酶切(37 ℃ 酶切 2 h), 酶切产物按照琼脂糖凝胶 DNA 回收试剂盒说明书进行回收。取回收的酶切产物, 用 T₄ DNA 连接酶于 4 ℃ 条件下连接过夜, 连接体系为 10 μL, pEGFP-C1 载体与 PCR 产物的体积比为 3:1。将 10 μL 连接产物转化大肠杆菌 DH5 α 感受态细胞, 在含有 100 μg/mL 氨苄青霉素的 LB 固体培养基中于 37 ℃ 培养过夜。挑取单克隆菌落接种到含有 100 μg/mL 氨苄青霉素的 LB 液体培养基中培养, 提取重组质粒, 并对重组质粒进行 PCR 鉴定和双酶切鉴定, 将鉴定正确的质粒送北京三博公司进行测序鉴定, 并将获得的阳性重组质粒命名为 pEGFP-CCL17。

1.7 重组质粒 pEGFP-CCL17 在 SUVECs 中的转染

将 SUVECs 接种于含体积分数 10% 胎牛血清的 DMEM 培养基中, 在含体积分数 5% CO₂ 的培养箱中于 37 ℃ 连续培养, 每 2~3 d 换液 1 次进行传代培养, 使细胞维持对数生长。将处于指数生长期时 60%~70% 的 SUVECs 接种于盛有无血清 DMEM 培养液的六孔细胞培养板中, 按 Lipofectamine 2000 说明书进行转染。取 4 μL 质粒, 加入 250 μL 不含血清和抗生素的 DMEM 中, 混匀后室温静置 5 min; 另取 10 μL 脂质体, 加入 250 μL DMEM 中, 混匀后室温静置 5 min, 之后将二者混合, 室温静置 15 min。用不含抗生素和血清的新鲜营养液洗涤 3 次后留少许, 加入上述质粒-脂质体混合液 500 μL, 轻缓混合后置 37 ℃、体积分数 5% CO₂ 培养箱中培养 5 h, 再吸出转染混合液, 加入含

体积分数 10% 牛血清的 DMEM 营养液继续培养。同时设质粒载体转染和空白细胞对照组。

1.8 Western blot 检测 pEGFP-CCL17 在 SUECs 中的表达

收集转染后具有绿色荧光的细胞,裂解处理后进行 Western blot 检测,一抗是小鼠单克隆抗体 IgG₁,二抗为 HRP 标记的羊抗小鼠。

2 结果与分析

2.1 CCL17 基因的 RT-PCR 扩增

以仔猪脾脏提取的总 RNA 为模板,以 Oligo(dT)18 为引物,以反转录所得到的 cDNA 为模板,扩增得到约 309 bp 的片段,片段长度与预期结果相近(图 1);阳性质粒测序结果与 NCBI 提供序列的 ORF 具有 100% 的同源性,共编码 102 个氨基酸。



图 1 猪 CCL17 基因的 PCR 扩增

M. DNA marker DL2000; 1. CCL17 基因 PCR 扩增产物

Fig. 1 Electrophoretic profile of PCR product of CCL17 gene

M. DNA marker DL2000; 1. PCR product of CCL17 gene

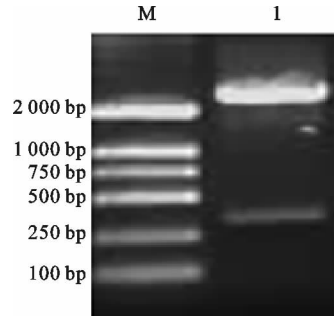


图 2 重组质粒 pMD-CCL17 的 *Bam*H I 和 *Hind* III 双酶切鉴定

M. DNA marker DL2000; 1. 重组质粒 pMD-CCL17 的 *Bam*H I 和 *Hind* III 双酶切产物

Fig. 2 Identification of constructed plasmid pMD-CCL17

M. DNA marker DL2000; 1. pMD-CCL17 digested by *Bam*H I and *Hind* III

2.2 重组克隆载体 pMD-CCL17 的构建与测序

将 CCL17 克隆转化入感受态细胞 DH5 α 后,在含氨苄青霉素的 LB 平板上长出菌落,挑取单菌落,进行 *Bam*H I 和 *Hind* III 双酶切,可得到 309 bp 的目的基因片段和 2 700 bp 的载体片段(图 2),长度均与预期相符。将重组质粒 pMD-CCL17 用全自动测序仪进行序列分析,测序结果与 NCBI 提供序列的 ORF 具有 100% 的同源性,共编码 102 个氨基酸,证实目的基因已成功克隆入 pMD18-T 载体。

2.3 重组原核表达载体 pET-CCL17 的双酶切鉴定

pET-CCL17 经 *Eco*R I 和 *Hind* III 双酶切鉴定,其电泳结果(图 3)显示,在 309 bp 左右有明亮条带出现,与目的基因理论长度基本一致,表明重组原核表达载体 pET-CCL17 构建成功。

2.4 CCL17 重组蛋白的表达

CCL17 蛋白分子质量为 11.47 ku, pEF32a 质粒分子质量为 20.4 ku,因此推测 CCL17 重组蛋白分子质量约为 32 ku。pET-CCL17 诱导表达产物的 SDS-PAGE 结果显示,在约 32 ku 处出现外源蛋白条带(图 4),该条带蛋白的分子质量与 CCL17 重组蛋白的理论分子质量基本相符。IPTG 诱导温度及时间变化对诱导表达略有影响,在 28 °C 下的表达水平略高于 37 和 35 °C,诱导 5 h 的表达水平略高于 4 和 3 h。

2.5 重组真核表达载体 pEGFP-CCL17 的鉴定

重组真核表达质粒 pEGFP-CCL17 用 *Bam*H I 和 *Eco*R I 双酶切,琼脂糖凝胶电泳中出现了预期为 309 bp 的目的条带,pEGFP-C1 大小为 5 000 bp(图 5),表明目的片段已成功插入了表达载体 pEGFP-C1。

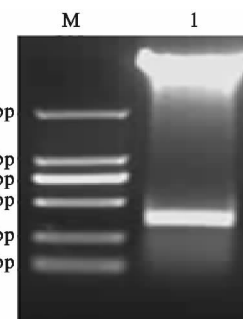


图 3 重组质粒 pET-CCL17 的 *Eco*R I 和 *Hind* III 双酶切鉴定

1. 重组质粒 pET-CCL17 的 *Eco*R I 和 *Hind* III 双酶切产物; M. DL-2000 Marker

Fig. 3 Recombinant plasmid digested by *Eco*R I and *Hind* III of pET-CCL17

1. pMD-CCL17 digested by *Eco*R I and *Hind* III; M. DL-2000 Marker

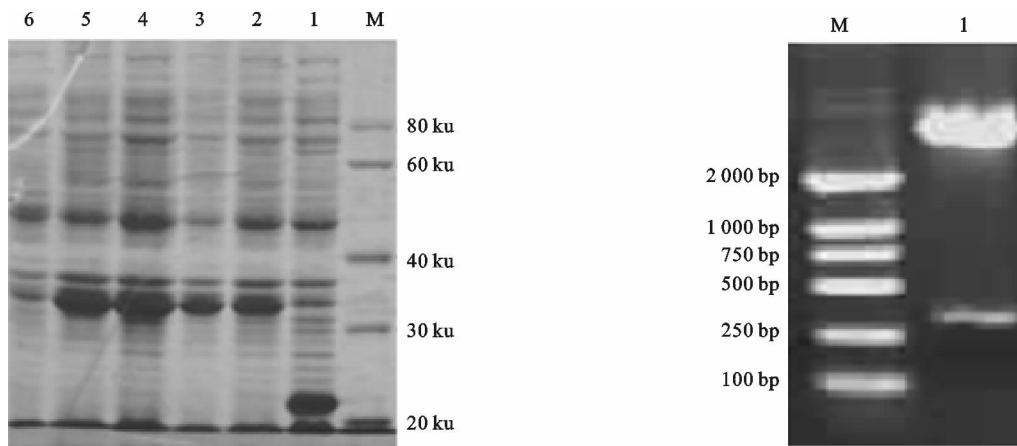


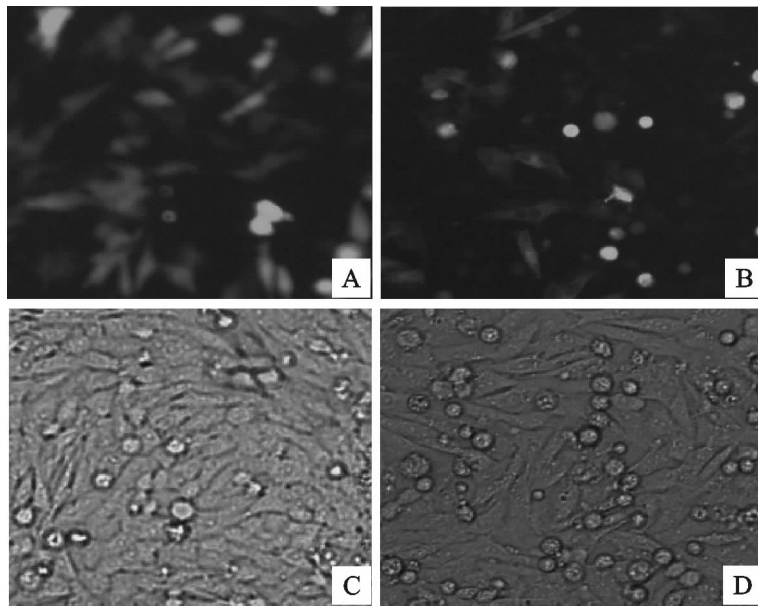
图 4 猪 CCL17 重组蛋白的 SDS-PAGE 检测

M. 蛋白质标准;1. pET-32a 转化菌(诱导后);
2~5. 分别为 pET-CCL17 转化菌诱导后 3,4,5,6 h 的
表达产物;6. pET-CCL17 转化菌(未诱导)

Fig. 4 SDS-PAGE detection of protein expressed in *E. coli*
M. Protein Marker;1. pET-32a (Induced);2—5. pET-CCL17
induced by IPTG for 3,4,5,6 h;6. pET-CCL17(Uninduced)

2.6 重组质粒 pEGFP-CCL17 在 SUVECs 中的转染

利用荧光倒置显微镜对转染质粒的 SUVECs 进行观察,发现在转染 36 h 后,试验组和空载体组

图 6 pEGFP-CCL17 和 pEGFP-C1 转染 SUVECs 60 h 后的荧光显微镜检测与细胞形态观察($\times 40$)

A,B. 分别为转染 pEGFP-C1 和 pEGFP-CCL17 后 SUVECs 的荧光显微镜检测结果;
C,D. 分别为转染 pEGFP-C1 和 pEGFP-CCL17 的细胞形态检测结果

Fig. 6 Fluorescence and morphology of SUVECs transferred pEGFP-CCL17 and pEGFP-C1 at 60 h($\times 40$)

A,B. Fluorescence of SUVECs transferred pEGFP-C1 and pEGFP-CCL17;C,D. Morphology of pEGFP-C1 and pEGFP-CCL17

2.7 pEGFP-CCL17 在 SUVECs 中表达产物的 Western blot 检测

由图 7 可以看出,转染 pEGFP-CCL17 重组质粒

图 5 重组质粒 pEGFP-CCL17 的 *Eco*R I 和

*Bam*H I 双酶切鉴定

1. pEGFP-CCL17 重组质粒的 *Eco*R I 和 *Bam*H I
双酶切产物;M. DL-2000 Marker

Fig. 5 Identification of recombinant plasmid pEGFP-CCL17

1. pEGFP-CCL17 digested by *Eco*R I ,*Bam*H I ;
M. DL-2000 Marker

细胞均出现绿色荧光,未转染的阴性对照组细胞无
绿色荧光;60 h 后,试验组阳性细胞已非常典型(图
6)。证明 2 种质粒均已成功转入了 SUVECs。

的 SUVECs 可检测出 pEGFP-CCL17 的表达,而转染
空载体 pEGFP-C1 和空白对照的 SUVECs 均未检测
到 CCL17 的表达,表明 pEGFP-CCL17 转染成功。

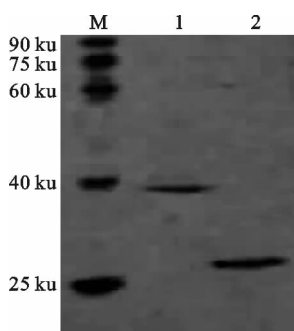


图 7 pEGFP-CCL17 表达产物的 Western blot 分析

M. 蛋白质标准;1. pEGFP-CCL17;2. 空载体 pEGFP-C1

Fig. 7 Western blot analysis of pEGFP-CCL17

M. Protein Marker; 1. pEGFP-CCL17; 2. pEGFP-C1

3 讨 论

所有趋化因子均含有 4 个半胱氨酸的保守基序,组成特征性的 2 个二硫键。CCL17 与其他 CC 亚族的趋化因子一样,在结构上其第 1、22 个半胱氨酸相连,在功能上能够趋化 T 细胞。CCL17 是第一个被认为对 Th2 细胞具有高度选择性趋化作用的因子。CCL17 具有特异性的受体 CCR4,是产生这种选择性趋化作用的分子基础:CCL17 与其他的 CC 亚族趋化因子不存在受体竞争关系,后者能与多种不同的受体结合,而 CCL17 却几乎只能与表达 CCR4 的细胞(少数为 CCR8、CXCR3 阳性细胞)起作用^[7],而 Th2 细胞为 CCR4 阳性细胞, Th1 细胞为 CCR4 阴性细胞,即 CCL17 趋化的 Th 细胞是 CCR4 阳性的 Th2 细胞。同样,CCL17 能对其他表达 CCR4 的细胞,如单核细胞、淋巴瘤细胞产生趋化作用。CCL17 在胸腺部位持续表达,主要的来源细胞是激活的单核细胞、树突状细胞。但身体其他多个部位如皮肤、黏膜、腺体上一些上皮来源的细胞也有其 mRNA 的表达,并能被这些细胞分泌到细胞外产生趋化作用。例如,支气管哮喘患者血清和痰液中 CCL17 升高,并发挥趋化作用,吸引 Th2 细胞向炎症部位移动,参与哮喘发作^[8]。另外,CCL17 因其趋化作用,还参与了其他过敏性疾病及一些皮肤病的发生和发展^[9]。以往研究表明,CCL17 的高亲和力受体 CCR4,选择性高表达于人类和小鼠的 Th2 细胞^[7],而 CCL17 在猪体内是否存在,是否能在细胞中表达并参与疾病发生尚未见报道。

综上所述,本试验通过对 CCL17 的序列分析,采用电子克隆的途径找到猪体内与 CCL17 基因同源性近似的基因序列,结合分子生物学技术,首次克隆出了猪的 CCL17 基因,该序列含一个完整开放阅

读框(ORF),大小为 309 bp,共编码 102 个氨基酸,测序结果与 NCBI 提供序列的 ORF 具有 100% 的同源性。通过提取仔猪脾脏组织的总 RNA,设计简并引物,经 RT-PCR 成功地克隆了 CCL17 基因,并将其连接到 pMD19-T 载体上,经测序证实克隆的目的基因片段正确。将该目的基因分别重组到原核表达载体 pET-32a 和真核表达载体 pEGFP-C1 上,在原核表达 pET-CCL17 时,IPTG 不同剂量诱导结果没有明显差异,诱导温度及时间变化对诱导表达略有影响,28 ℃下的表达水平略高于 37 和 35 ℃,诱导 5 h 的表达水平略高于 4 和 3 h。IPTG 诱导表达后,经 SDS-PAGE 分析,结果在约 32 ku 处出现外源最后条带,表明重组基因 pET-CCL17 在宿主大肠杆菌 BL21(DE3)中得到了高效表达。同时,将构建的 CCL17 基因真核表达载体 pEGFP-CCL17 与 pEGFP-C1 成功转染入 SUVECs 中,并通过 Western blot 法证实导入的 CCL17 基因得到了表达。本研究结果为下一步研究猪 CCL17 的生物学功能及单克隆抗体的制备奠定了基础。

[参考文献]

- [1] Sallusto F, Mackay C R. Chemoattractants and their receptors in homeostasis and inflammation [J]. *Curr Opin Immunol*, 2004, 16:724.
- [2] Stein J V, Nombela-Arrieta C. Chemokine control of lymphocyte trafficking:a general overview [J]. *Immunology*, 2005, 116 (1):1-12.
- [3] Charo I F, Ransohoff R M. The many roles of chemokines and chemokine receptors in inflammation [J]. *N Engl J Med*, 2006, 354(6):610-621.
- [4] Hosokawa Y, Hosokawa I, Ozaki K, et al. CC chemokine ligand 17 in periodontal diseases: expression in diseased tissues and production by human gingival fibroblasts [J]. *Periodontal Res*, 2008, 43(4):471-477.
- [5] Wirnsberger G, Hebenstreit D, Posselt G, et al. IL-4 induces expression of TARC/CCL17 via two STAT6 binding sites [J]. *Eur J Immunol*, 2006, 36:1882.
- [6] Chae J I, Ju S K, Lee M K, et al. Cloning of rat TARC cDNA and analysis of tissue-specific mRNA expression [J]. *Biol*, 2008, 42(4):639-644.
- [7] Imai T, Nagira M, Takagi S, et al. Selective recruitment of CCR4-bearing Th2 cells toward antigen presenting cells by the CC chemokines thymus and activation regulated chemokine and macrophage derived chemokine [J]. *Int Immunol*, 2003, 11:81-88.
- [8] Sekiya T, Yamada H, Yamaguchi M, et al. Increased levels of a TH2-type CC chemokine thymus and activation-regulated chemokine(CCL17) in serum and induced sputum of asthmatics [J]. *Allergy*, 2003, 57:173-177.
- [9] Kusumoto M, Xu B, Shi M, et al. Expression of chemokine receptor CCR4 and its ligands (CCL17 and CCL22) in murine contact hypersensitivity [J]. *Interferon Cytokine Res*, 2007, 27 (11):901-910.